

УДК 546.3-19

ФИЗИЧЕСКАЯ ХИМИЯ

М. В. ИВАНОВ, В. П. МОИСЕЕВ, К. М. ГОРБУНОВА

СТРУКТУРА И НЕКОТОРЫЕ СВОЙСТВА Ni — В-ПОКРЫТИЙ,
ПОЛУЧЕННЫХ СПОСОБОМ ХИМИЧЕСКОГО ВОССТАНОВЛЕНИЯ

(Представлено академиком П. А. Ребиндером 21 I 1970)

В последние годы все большее внимание исследователей привлекает способ получения Ni — В-покрытий с использованием в качестве восстановителя различных боросодержащих соединений (борогидридов щелочных металлов, боразанов, боразенов и др.)⁽¹⁻³⁾. Большой интерес представляют структура и свойства этих покрытий. Однако в имеющейся к настоящему времени литературе содержатся лишь отдельные краткие сведения по этому вопросу⁽⁴⁻⁶⁾.

Данная работа посвящена исследованию структуры и некоторых свойств (твердости и магнитных характеристик) Ni — В-покрытий, а также рассмотрению фазовых превращений, происходящих под влиянием термической обработки. Изучению подвергались покрытия толщиной $\sim 30 \mu$, получаемые из трех различных растворов. Первый раствор имел состав (г/л): $\text{NiCl}_2 \cdot 6\text{H}_2\text{O}$ 30, NaOH 40, этилендиамин (70%) — 86 мл/л, NaBH_4 — 1,2. Дополнительно, во второй раствор вводился TINO_3 (0,1 г/л), а в третий добавлялись PbCl_2 ($4 \cdot 10^{-2}$ г/л) и 2-меркаптобензтиазол ($5 \cdot 10^{-3}$ г/л). Присутствие указанных соединений, как было показано ранее, приводит к значительному повышению стабильности раствора и увеличению скорости осаждения покрытий. Осаджение велось при $\text{pH} 13-14$ и температуре 95°C ; отношение покрываемой поверхности образцов к объему раствора составляло $1 \text{ дм}^2/\text{l}$. Скорость нанесения покрытий равнялась соответственно $10,27 \mu$ и $15 \mu/\text{час}$.

Анализ сплавов на содержание в них бора проводился фотометрическим способом по специально разработанной методике⁽⁷⁾ с использованием ацетилхиналициарина. Количество бора в покрытиях, осажденных из растворов, содержащих TINO_3 , не содержащих стабилизатора и содержащих PbCl_2 с 2-меркаптобензтиазолом, составляло соответственно 4,3 (образцы A), 5,7 (образцы B) и 6,4 (образцы B) вес. %.

Для термографических исследований использовались порошки, полученные путем измельчения покрытия, нанесенного на образцы из плексигласа $30 \times 30 \times 0,3$ (мм). Дифференциальные термограммы были получены на установке, состоящей из приборов Ф-116/2 и ПДС-021, регистрировавших термо-э.д.с. как функцию температуры образца, и программно-нагревательного устройства ПРТ-1000 м, обеспечивающего нагревание образцов с постоянной скоростью (10 град/мин) в атмосфере гелия при давлении в 1 атм. Навески образца и эталона равнялись 0,2 г. Структура Ni — В-покрытий как в исходном состоянии, так и после термообработки изучалась рентгеновским методом на медном излучении с никелевым фильтром. Термообработка проводилась в вакууме $5 \cdot 10^{-4}$ мм рт. ст. в течение одного часа. После охлаждения и соответствующих исследований свойств и структуры при комнатной температуре они отжигались вновь при температуре, превышающей предыдущую на 50° и т. д. в интервале $150-700^\circ \text{C}$. Определение твердости осуществлялось с помощью микротвердометра ПМТ-3 на покрытиях, полученных на медных пластинках

20×25 (мм). Магнитные характеристики покрытий, нанесенных на медные стержни диаметром 3 и длиной 50 мм, измерялись на баллистической установке (*).

Термографические исследования показали, что во всех образцах при нагревании протекают необратимые структурно-фазовые превращения,

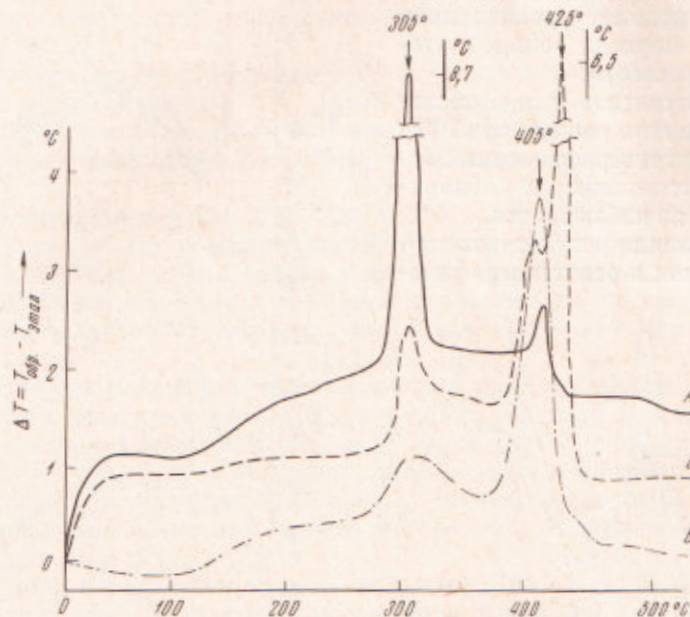


Рис. 1. Дифференциальные термограммы Ni-B-покрытий (A, B и B' — образцы, содержащие соответственно 4,3; 5,7 и 6,4 вес. % В)

сопровождающиеся, как это видно из рис. 1, экзотермическими эффектами в области температур 300 и 400—425°. Следует отметить, что величина этих эффектов для образцов A резко отличается от величин соответствующих эффектов для образцов B и B'.

Рентгенографическое изучение структуры образцов выявило наличие в них ряда фаз: аморфной фазы, по-видимому, твердого раствора бора в ГЦК β-никеле и боридов Ni_3B и Ni_2B . Температуры отжига, после которых были зафиксированы соответствующие фазы, полученные для плоских и цилиндрических образцов, приведены в табл. 1.

Аналогичные результаты были получены для образцов в виде порошка, за исключением того, что фаза Ni_3B фиксировалась независимо от их состава после отжига при 150°.

Таблица 1

Стабилизатор раствора	Образцы	Количество В		Temperatury отjiga, °C					
		вес. %	ат. %	твердый раствор B в Ni		Ni + Ni_3B	$Ni + Ni_3B + Ni_2B$	$Ni_3B + Ni_2B$	
				аморфн.	крист.				
TINO ₃	A	4,3	19,6	95 *	95 *	150—700	—	—	
Отсутствует	B	5,7	24,7	95 *—150	—	200—250	300—550	600—700	
PbCl ₂ и 2-меркаптобензтиазол	B'	6,4	27,1	95 *—200	—	250—300	350—400	450—700	

* Без отжига.

Из данных табл. 1 видно, что только в случае образцов *A*, не подвергнутых отжигу, кроме аморфной фазы, присутствует кристаллический твердый раствор бора в ГЦК β-никеле. Искаженность его решетки, а также совпадение многих отражений от Ni, Ni₃B и Ni₂B в отожженных покрытиях затрудняет прецизионное определение периода решетки этого твердого раствора.

Следует отметить, что в образцах, подвергнутых отжигу при 700°, согласно рентгенографическим данным, рекристаллизации обнаруженных фаз не наблюдается.

Сопоставление результатов термографических и рентгенографиче-

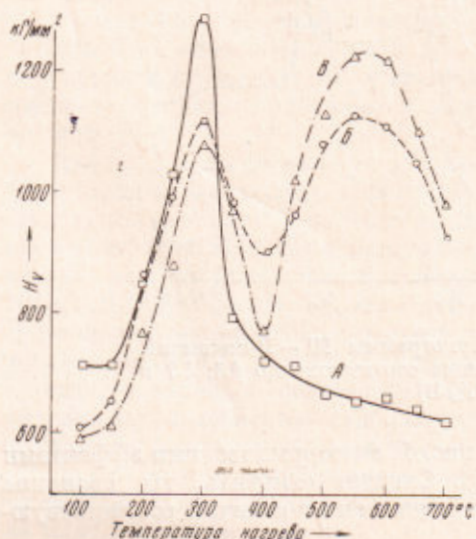


Рис. 2

Рис. 2. Твердость Ni-B-покрытий после термообработки (обозначения те же, что на рис. 1)

Рис. 3. Коэрцитивная сила H_c , максимальная индукция $B_r - H$ и величины $B_r / B_m - H$ Ni-B-покрытий после термообработки (обозначения те же, что на рис. 1)

ских исследований приводит к заключению, что экзотермический эффект при 300° (рис. 1) соответствует выделению фазы Ni₃B, имеющей, согласно работе (*), орторомбическую решетку с периодами $a = 4,392 \text{ \AA}$, $b = 5,223 \text{ \AA}$, $c = 6,615 \text{ \AA}$. Скорость выделения и количество этой фазы, как видно из термограмм, находится в обратной зависимости от содержания бора в покрытии. В согласии с этим находятся и данные табл. 1, указывающие на то, что в покрытиях с более высоким содержанием бора выделение фазы Ni₃B начинается при более высокой температуре.

Различия в интенсивности протекания процесса выделения фазы Ni₃B в покрытиях с разным содержанием бора могут быть связаны с различиями в условиях диффузии компонентов в ходе процесса распада исходного твердого раствора. На скорость формирования новой фазы, связанной не только с перераспределением компонентов в системе, но и с перестройкой кристаллической решетки, оказывает влияние характер концентрационных изменений в зоне, граничащей с новой фазой. Знак этих изменений — различный для исходных систем твердого раствора с содержанием бора выше

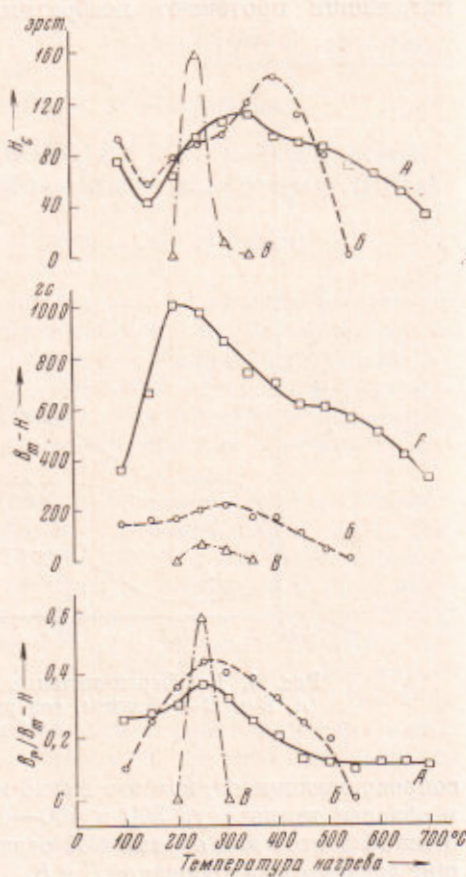


Рис. 3

или ниже, чем в фазе Ni_3B (25 ат. %). В первом случае условия роста зародышей этой фазы менее благоприятны и со временем ухудшаются, тогда как во втором случае — наоборот.

Не исключено, что существенное влияние на течение процесса распада твердого раствора оказывают и различия во вторичной структуре покрытий (слоистость, внутренние напряжения, дисперсность, дефектность решетки и т. д.) (10).

Экзотермический эффект при $400-425^\circ$ отвечает выделению фазы Ni_2B , которая, согласно данным (11), имеет тетрагональную решетку с периодами $a = 4,980 \text{ \AA}$ и $c = 4,236 \text{ \AA}$. Как видно из рис. 1, чем меньше в ходе процесса отжига выделилось фазы Ni_3B , тем больше в конечной системе фазы Ni_2B .

Начало выделения фаз Ni_3B (265 и 150°) и Ni_2B (350 и 300°) по термографическим (отжиг в неизотермическом режиме) и рентгенографическим (отжиг в изотермическом режиме) данным не совпадает; это следует связать с установленным ранее влиянием скорости нагрева на кинетику распада перенасыщенного твердого раствора и выделения соответствующих фаз (12).

Результаты измерений микротвердости, представленные на рис. 2, согласуются с выводами рентгеноструктурного анализа. Отмечаемое на рисунке увеличение твердости покрытий после отжига в области температур $150-300^\circ$ и $400-550^\circ$ обусловлено дисперсионным твердением при выделении соответственно фаз Ni_3B и Ni_2B ; снижение твердости после максимумов является следствием снятия внутренних напряжений и частичной коагуляции выделившихся фаз.

Магнитные характеристики $Ni-B$ -покрытий (рис. 3) указывают на то, что включение бора в никель приводит к резкому уменьшению значений максимальной и остаточной индукций. Образцы с 4,3 вес. % бора, независимо от температуры отжига, оставались ферромагнитными, в то время как покрытия с 6,4 вес. % бора оказывались ферромагнитными лишь в результате отжига в температурном интервале от 200 до 300° . Из анализа зависимости магнитных свойств от температуры отжига следует, что фаза Ni_3B неферромагнитна, а фаза Ni_2B характеризуется низкими значениями ферромагнитных характеристик.

Таким образом, проведенное исследование позволило показать, что в процессе отжига покрытий из сплава $Ni-B$ возникает не только фаза Ni_3B , установленная в работе (4), но и фаза Ni_2B . Количество и природа этих фаз, естественно, определяют и свойства подвергнутых отжигу покрытий. Подлежит дальнейшему количественному анализу выявленный в исследовании своеобразный характер зависимости кинетики процесса выделения фаз Ni_3B и Ni_2B от соотношения концентраций компонентов в исходном твердом растворе и этих фазах.

Институт физической химии
Академии наук СССР
Москва

Поступило
19 I 1970

ЦИТИРОВАННАЯ ЛИТЕРАТУРА

- ¹ K. Lang, Galvanotechnik, 56, № 6, 347 (1965). ² H. Naricus, Plating, 54, № 4 380 (1967). ³ H. Niederprüm, Galvanotechnik und Oberflächenschutz, 8, № 12, 255 (1967). ⁴ Канбе Токузо, J. Met. Finish. Soc. Japan., 20, № 6, 279 (1969). ⁵ T. Berzins, U. S. Pat. 3 045 334, 1962; U. S. Pat. 3 338 726, 1967. ⁶ Н. Куги, K. Lang, H.-G. Klein, Pat. German, № 1 247 115, 1968. ⁷ М. В. Иванов, А. А. Немодрук, А. А. Никифорова, Каталог депонированных рукописей ВИНИТИ, № 1322-70 (1970). ⁸ Ю. М. Полукаров, Тр. Моск. Инст. цвет. мет. и золота, Физика и физ.-хим. анализа, в. 1, № 30, 342 (1957). ⁹ R. Fruchart, Ann. Chim., 4, № 11-12, 1247 (1959). ¹⁰ В. П. Моисеев, Г. А. Садаков, К. М. Горбунова, ЖФХ, 42, № 11, 2751 (1968). ¹¹ T. Bjurström, Arkiv Kemi, Mineralogi Geologi, 11A, 5, 1 (1933). ¹² В. П. Моисеев, Структура и некоторые свойства химически восстановленного никеля, Зап. Уральск. Центр. бюро технич. информации, Хим. пром., № 19, 301 (1966).